

Curs 9

ELEMENTE STRUCTURALE ALCATUITE DIN PLACI PLANE SOLICITATE IN PLANUL LOR (EN 1993-1-5)

Solicitari: compresiune, incovoiere, compresiune cu incovoiere

Elemente structurale (de tip bara!)

- grinzi cu inima plina(cai de rulare, poduri, stavile si porti de eclisa etc.)
- stalpi cu inima plina(la hale industriale grele echipate cu poduri rulante)
- cadre cu inima plina (pentru hale industriale)

Exemple:

- grinzi cu inima plina:
 - pot fi cu inaltime constanta sau variabila;
 - pot fi sectiune simpla, deschisa, dublu "T" cu talpi egale, sau inegale, sau chesonate;

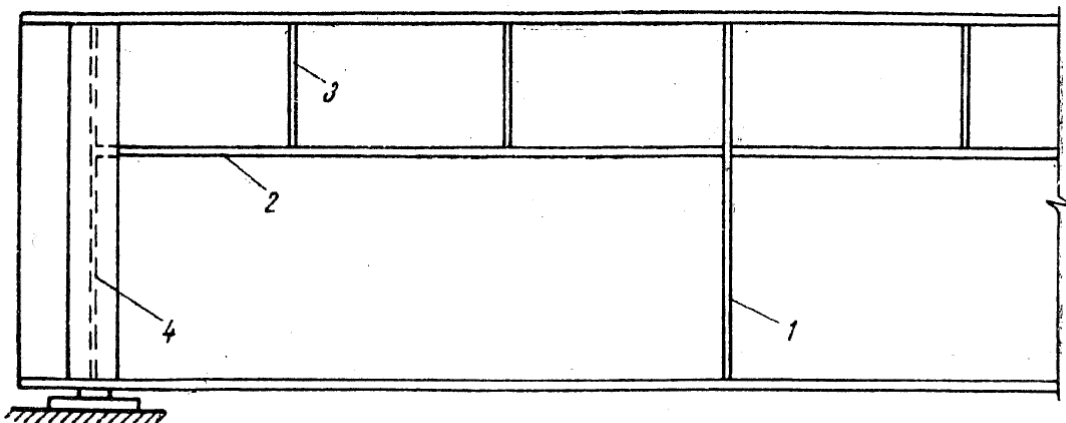
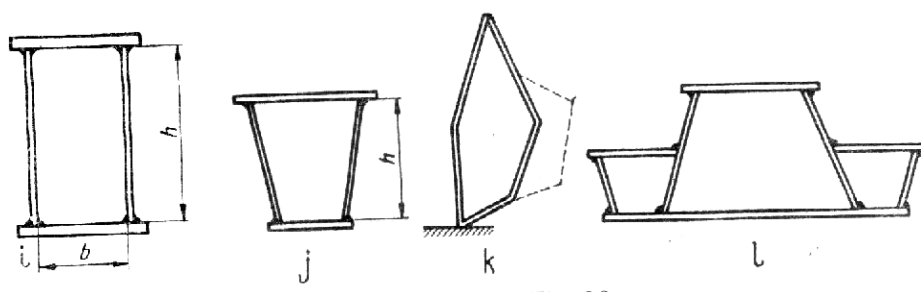
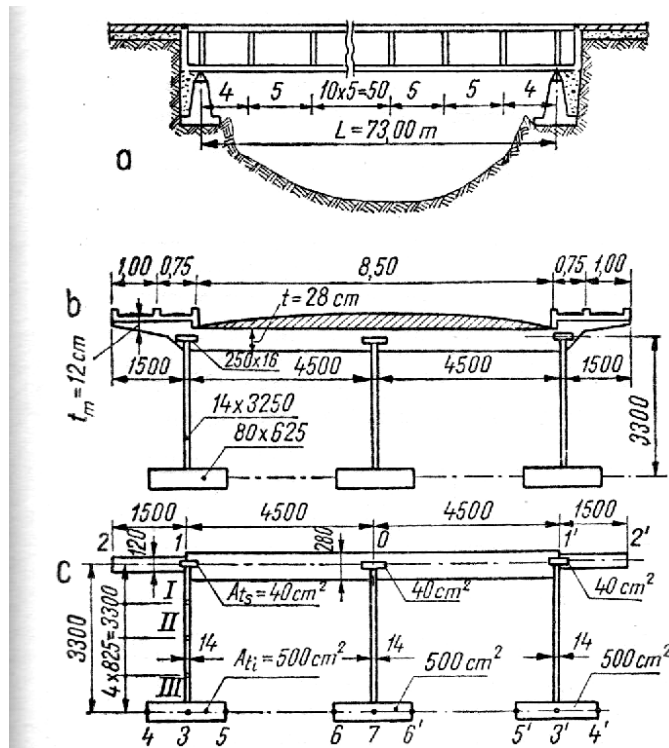


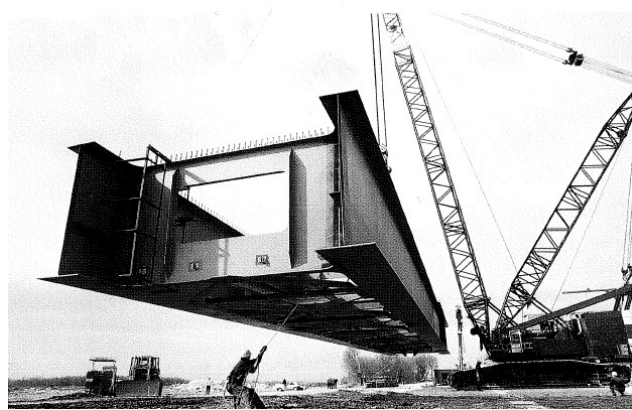
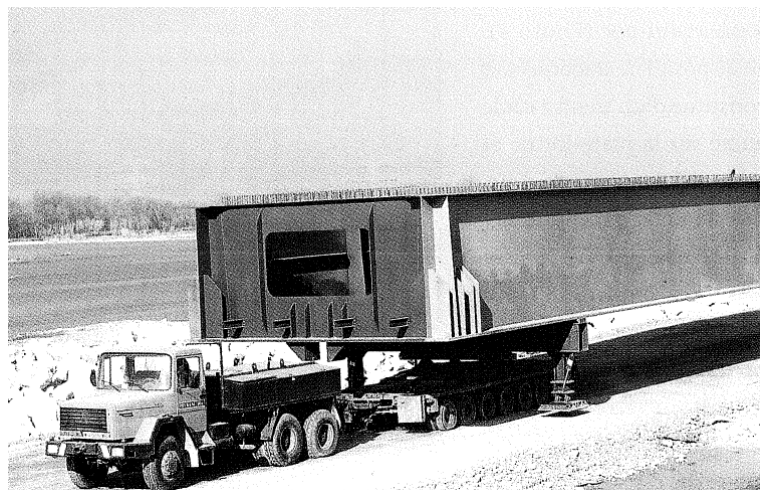
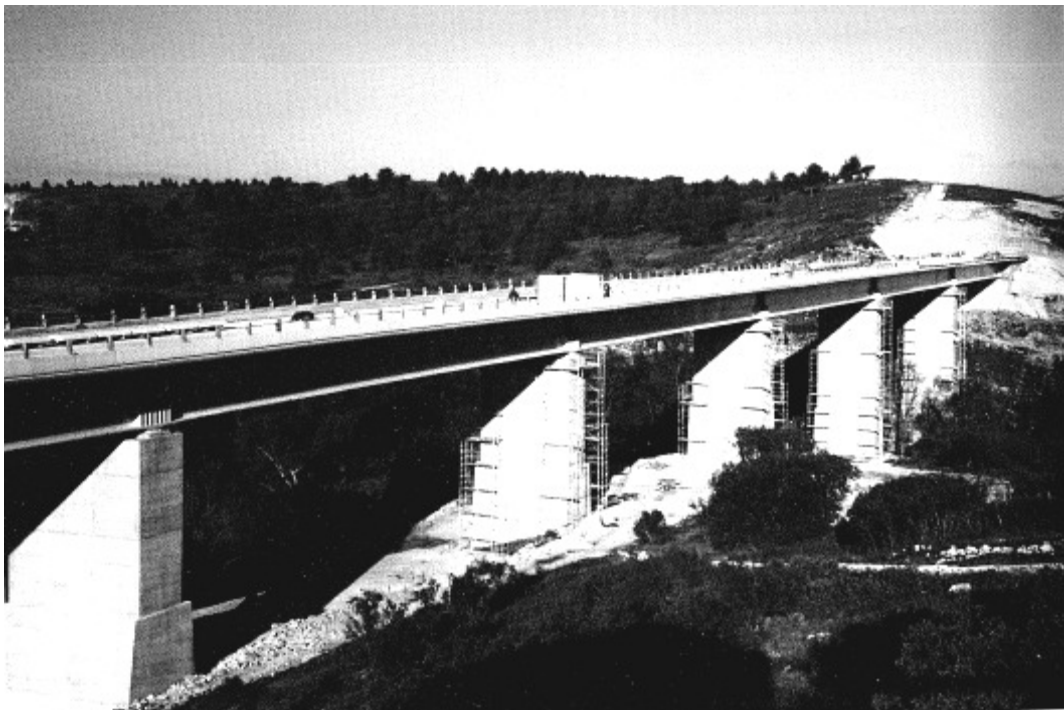
Fig. 6.29. Rigidizări la grinzi cu inimă plină :
1 – transversală ; 2 – longitudinală ; 3 – scurtă ; 4 – de reazem.



Grinzi cu înălțime variabilă. Forme și rapoarte recomandate

Nr. crt.	Schema grinzii	Rapoarte indicate			Domeniul de folosire
		$\frac{h_r}{h}$	$\frac{a}{l}$	$\frac{b}{l}$	
1		0,80	0,20	0,15	Poduri, stavile
		0,60 (0,40)	0,10	0,20	Stavile
2		0,60	0,35	—	Stavile
		0,4 ; 0,6	0,10 – 0,25	—	Poduri rulante
3		0,60	0,50	—	Stavile
		—	—	—	—
4		1,20 – 1,30	0,20 – 0,40	—	Poduri





- Stalpi cu inima plina : - Pot fi cu secțiune simplă sau chesonat
- Pot fi cu secțiune chesonată sau variabilă

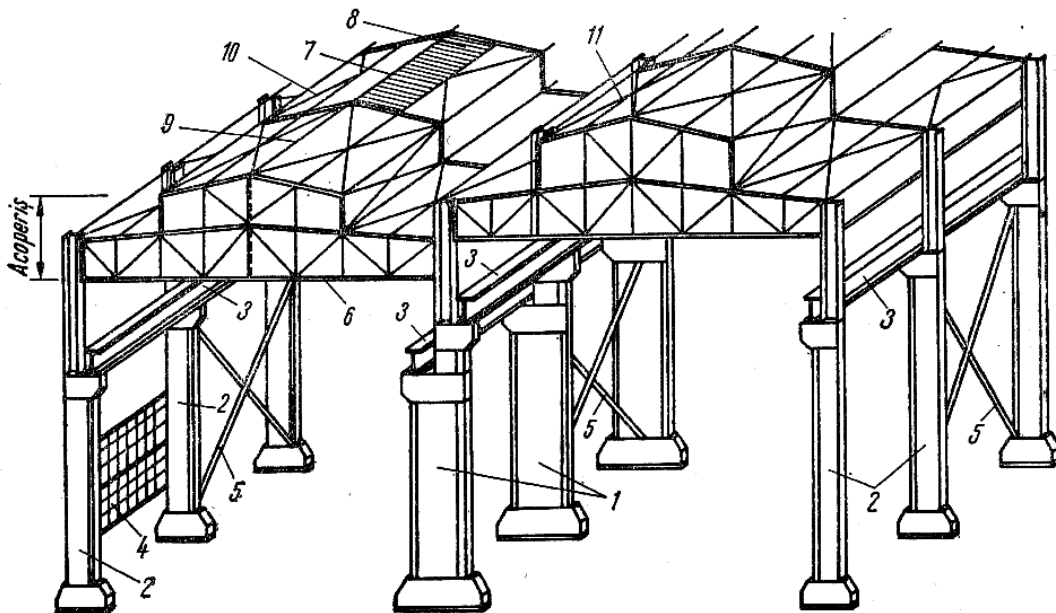
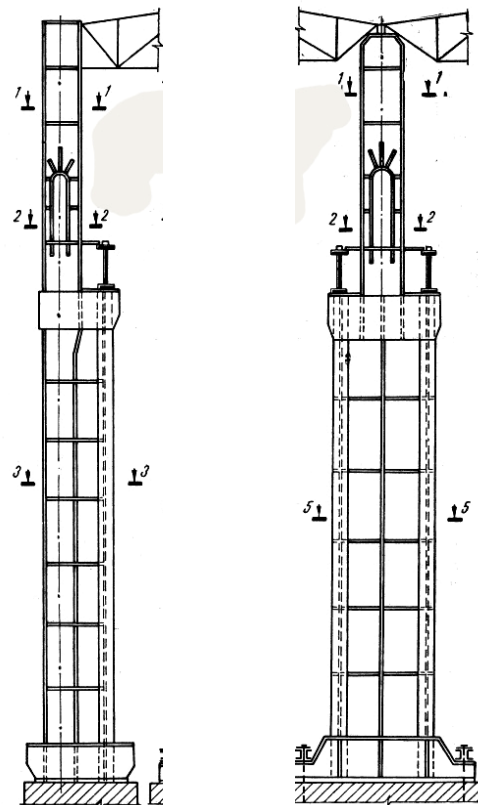
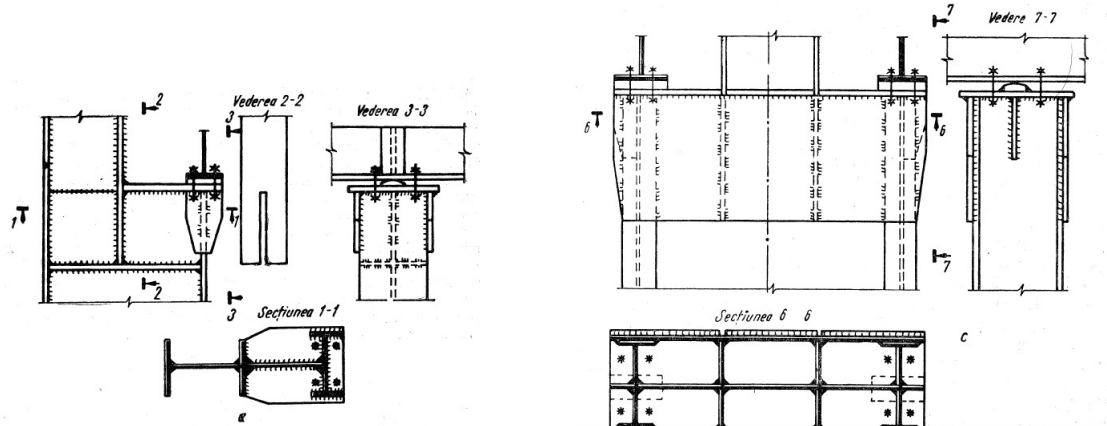
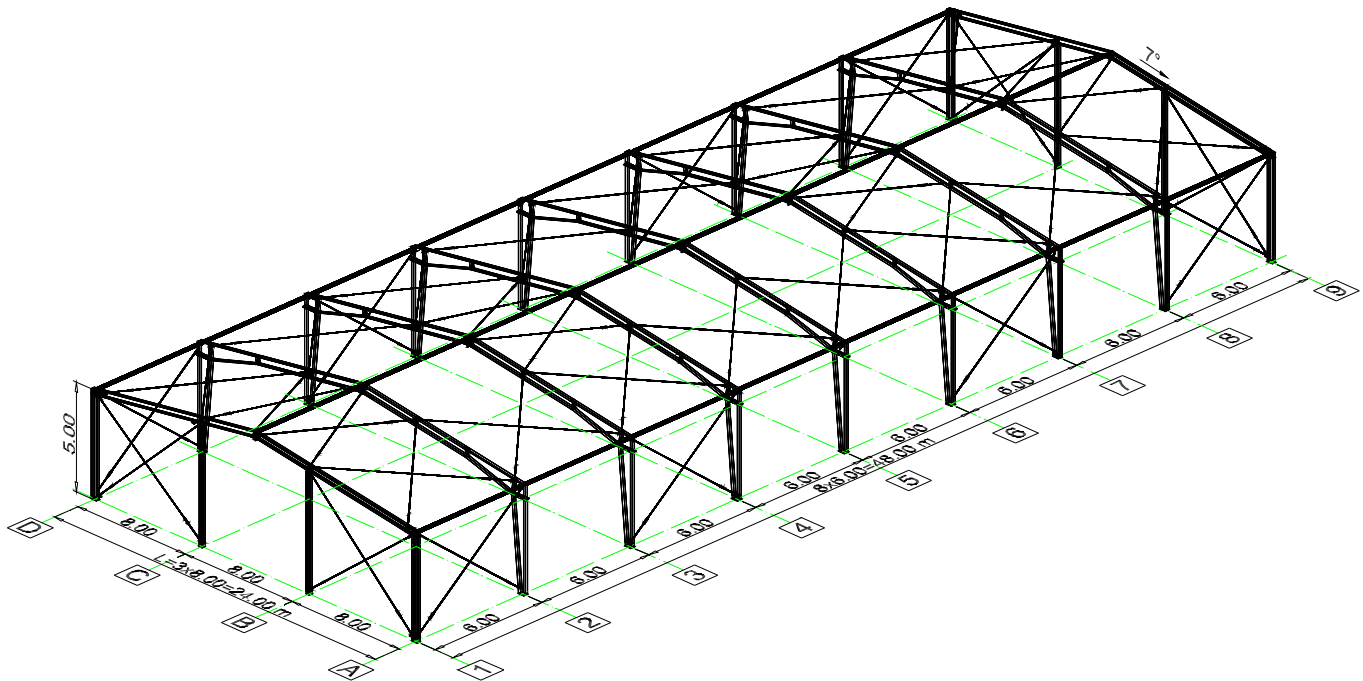


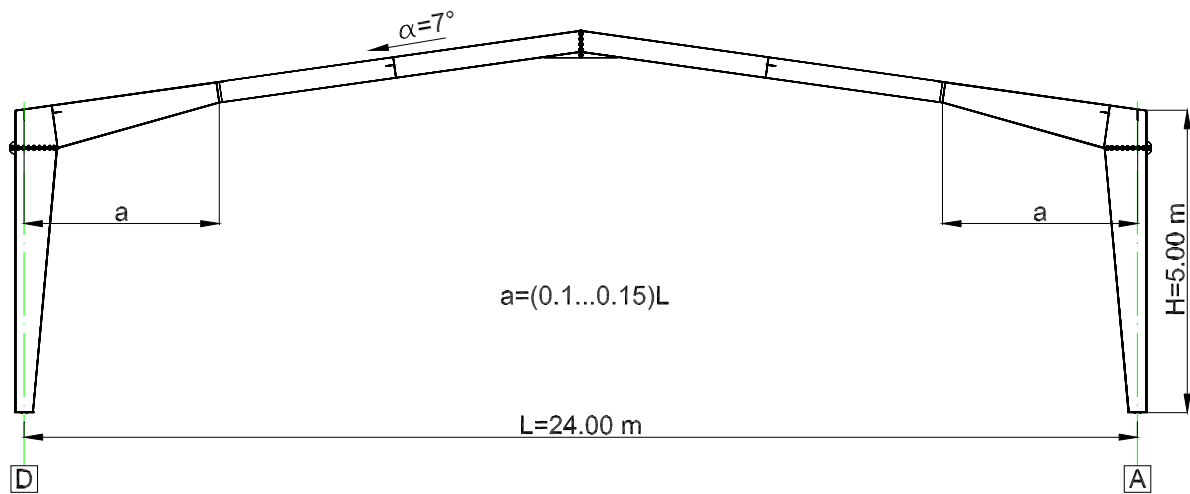
Fig. 9.2. Elementele principale ale halelor industriale metalice :
 1 — stilp central ; 2 — stilp marginal ; 3 — grindă de rulare ; 4 — perete ; 5 — portal de frânare ;
 6 — fermă ; 7 — pane ; 8 — învelitoare ; 9 — luminator ; 10 — contravîntuire longitudinală ;
 11 — contravîntuire transversală.



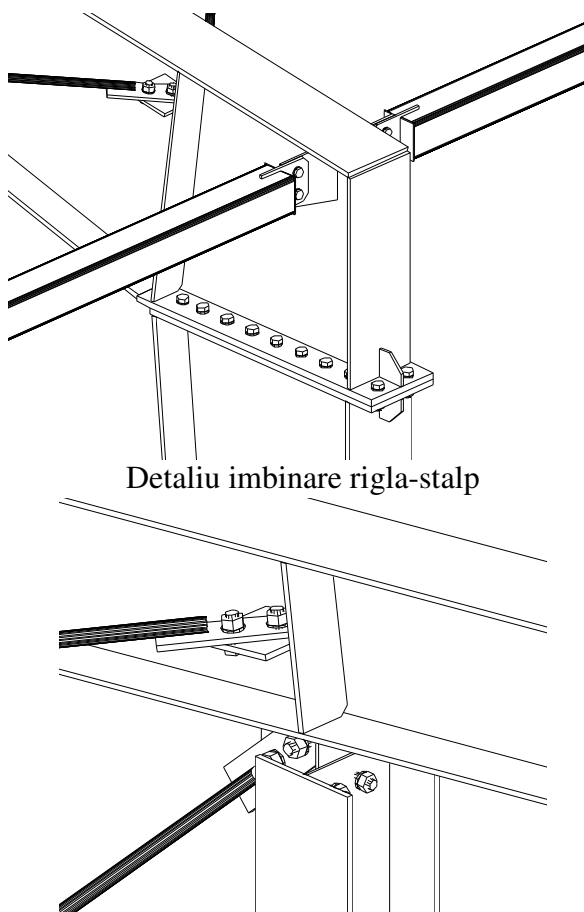


Cadre cu inima plina:

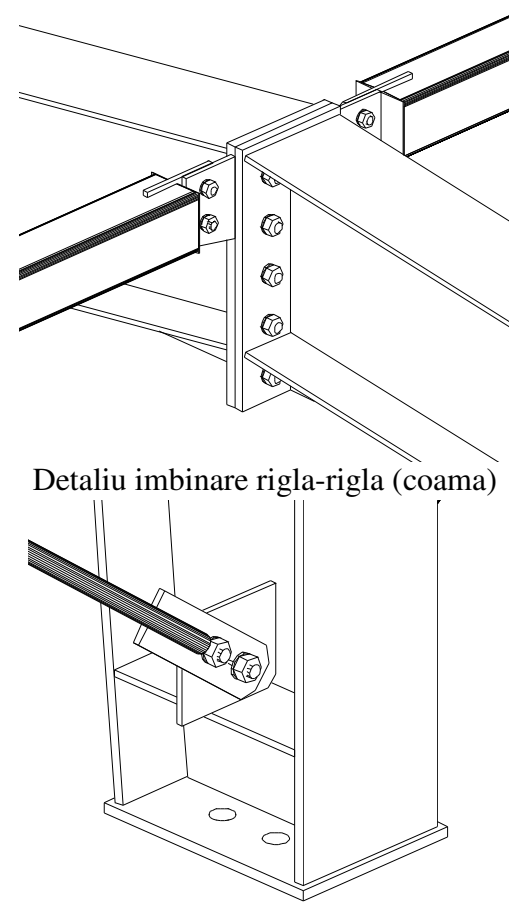




Cadru transversal curent



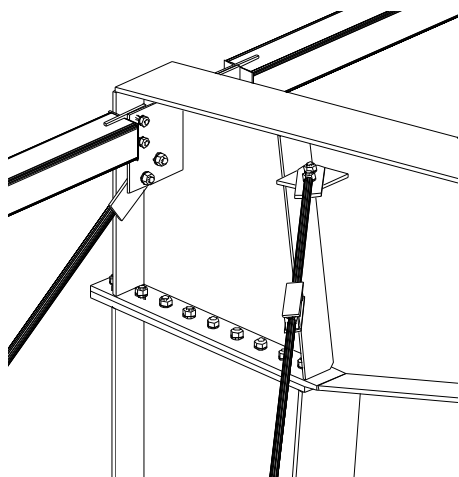
Detaliu imbinare rigla-stalp



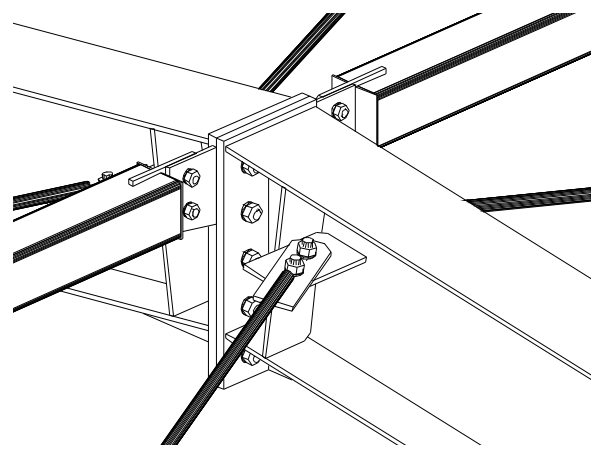
Detaliu imbinare rigla-rigla (coama)

Detaliu prindere stalp fronton

Detaliu prindere contravantuire perete

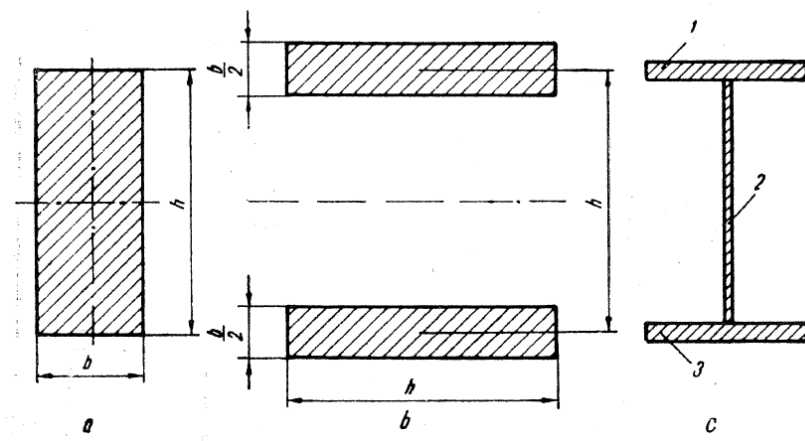


Detaliu prindere contravanturi (perete, acoperis), rgle longitudinale



Detaliu prindere contravanturi acoperis, rgle longitudinale

Elemente structurale cu inima plina, solicitate la incovoiere sau incovoiere cu compresiune exploateaza "principiul grinzi ideale".



Sectiune dreptunghiulara: $W_{\square} = \frac{bh^2}{6}$; $A_{\square} = bh$

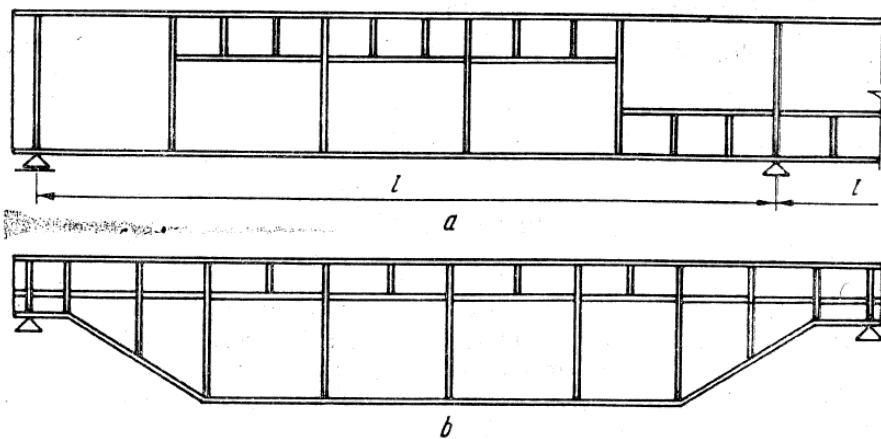
$$\text{Sectiune cu doua talpi: } W = \frac{I}{h/2} \cong 2 \frac{\frac{2}{2} \frac{hb}{2} \left(\frac{h}{2}\right)^2}{h} = \frac{bh^2}{2}$$

$$A = 2h \frac{b}{2} = bh$$

$$==> W_{\square} / W = 3$$

In consecinta, tendinta este de a lega talpile cu inimi inalte si zvelte, in general de clasa 4 sau, cel mult 3. Pentru a se preintampina voalarea inimilor este

necesar sa se dispuna rigidizari transversale si/sau longitudinale in vederea
reducerii zveltelei acestora.



Recomandari orientative de alcătuire a grinziilor cu inima plina

426 ELEMENTE DE CONSTRUCȚII DIN OTEL REALIZATE DIN PRODUSE LAMINATE LA CALD

Tabul 6.10

GRINZI CU INIMĂ PLINĂ. Rapoarte orientative $\frac{h}{l}$

Destinația construcției	Elementul de construcție	Sistemul static	Raportul orientativ h/l ¹⁾	Observații
Construcții civile și industriale	Grinzi cu un perete	Simplu rezemat	$\frac{1}{8} \dots \frac{1}{10}$	
			$\frac{1}{12} \dots \frac{1}{20}$	Grinzi continue
		Nedeterminat	$\frac{1}{18} \dots \frac{1}{25}$	Rigle cadre rigide
	Grinzi cu doi pereți (cheson)	Simplu rezemat	$\frac{1}{12} \dots \frac{1}{16}$	
			$\frac{1}{17} \dots \frac{1}{20}$	Regim ușor și mediu
			$\frac{1}{16} \dots \frac{1}{18}$	Regim greu și foarte greu
Poduri rulante	Grinzi principale	Simplu rezemat	$\frac{1}{10} \dots \frac{1}{16}$	În general
			$\frac{1}{10} \dots \frac{1}{14}$	Pod oraș cu calea sus
			$1/15 \dots 1/17$ ²⁾	
		Continuu	$\frac{1}{8} \dots \frac{1}{10}$	Pod oraș cu calea jos
			$\frac{1}{12} \dots \frac{1}{20} \dots \frac{1}{30}$	
			$\frac{1}{8} \dots \frac{1}{12}$	
Poduri de șosea și cale ferată	Lanțeroni	Profil laminat	$\frac{1}{7} \dots \frac{1}{10}$	
		Secțiune compusă		
	Antretoaze	Pod deschis	$\frac{1}{6}$	
		Pod inchis	$\frac{1}{8}$	
Poduri de cale ferată	Grinzi principale	Simplu rezemat	$\frac{1}{10}$	STAS 1911-75
		Continuu	$\frac{1}{12}$	STAS 1911-75
Stavile plane	Grinzi principale	Simplu rezemat	$\frac{1}{8} \dots \frac{1}{10}$	

¹⁾ Rapoartele orientative se utilizează în cazul antuproiectelor. În cazul proiectelor de execuție înălțimea grinzi se stabilește pe haza h optim, h , săgeată, condiții tehnologice, execuție sau constructive.

²⁾ Pod cu placă de beton armat care conținează cu grinda.

GRINZI SUDATE. Recomandări pentru stabilirea dimensiunilor secțiunii transversale

Secțiunea transversală a grinzelor	Relații recomandate			
	Înălțimea grinzelor, h	Optimă	Precizări	Relația
$h_s \approx \rho k R \left(\frac{l}{f_a} \right) l r 10^{-7}$	$h_s \approx \rho R \left(\frac{l}{f_a} \right) l r 10^{-7}$			
ρ — coeficient ce ține seama de modul de încărcare (tabelul 6.8) f_a — săgeata admisă (v. cap. 2); k — funcție de h_r/h (tabelul 6.31) $r = (g + p)/(n_g g + n_p p)$ respectiv $r = \sum P_i / \sum n_i P_i$				
$h_{op} \approx (1,15 \dots 1,20) \sqrt{\frac{W_{nec}}{l_i}}$				
$W_{nec} = \frac{M_{max}}{R}$; t_i — se determină cu relațiile date în care se introduce h determinat din tabelul 6.10. Pentru grinzi cheson se ia $2t_i$.				
Înălțimea h se ia multiplu de:	50 mm pentru $h \leq 1000$ mm 100 mm pentru $h > 1000$ mm			
Grinzi puternic solicitate	Grinzi solicitate normal	Grosimea inițială t_i		
$t_i \geq 1,5 \frac{T}{h R_f}$; $t_i \geq \frac{h}{160} \sqrt{\frac{R}{2100}}$	$t_i \geq 1,5 \frac{T}{h R_f}$			
Grosimi: — obișnuite: (6); 8; 10; 12; 15 mm — minime: conform prevederilor din cap. 2				
$A_t \approx \frac{2I_t}{h_t^2}$ unde: $h_t = h - 2\left(\frac{t}{2}\right)$; $t \approx (2 \dots 3)$ cm $I_t = I_{nec} - I_t$: $b \approx \left(\frac{1}{3} \dots \frac{1}{5}\right)h$ $I_{nec} = W_{nec} \frac{h}{2}$; $W_{nec} = \frac{M_{max}}{R}$ $t \leq (2 \dots 3)t_i$ $I_t = \frac{t_i h_t^3}{12}$; $h_t = h - 2t$ $t \approx (2 \dots 3)$ cm				
Generală $b \geq \eta_1 l_i$; $\frac{\text{Otel}}{\eta_1} \left \begin{array}{c} \text{OL 37} \\ \hline \text{OL 44; OL 52} \end{array} \right \begin{array}{c} 0,087 \\ \hline 0,099 \end{array}$ l_i — vezi pct. 6.1.5.1	Locală $a \leq \eta_2 t$ $\frac{\text{Otel}}{\eta_2} \left \begin{array}{c} \text{OL 37} \\ \hline \text{OL 44} \end{array} \right \begin{array}{c} 15,00 \\ \hline 13,75 \end{array} \right \begin{array}{c} \text{OL 52} \\ \hline 12,55 \end{array}$			
b, t — să fie cuprinse în sortiment (v. cap. 1). $t \geq t_i + 2$ mm. (10); 12 mm $\leq t \leq 30$; (36) mm				

GRINZI SUDATE. Recomandări pentru stabilirea dimensiunilor secțiunii transversale

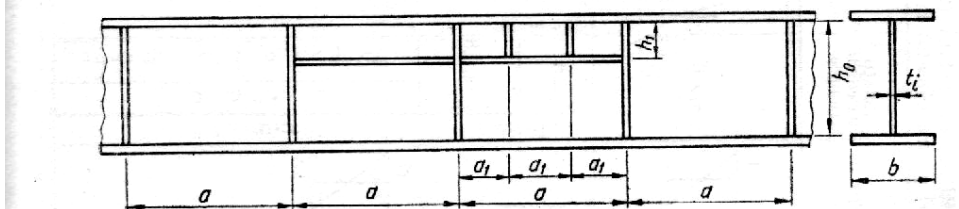
Secțiunea transversală a grinzelor	Inălțimea grinzelor	Relații recomandate		Dimensiunile tăplilor		Recomandări
		Condiția de săgeată	Optimă	Relația	Precizări	
	$h_s \approx p k \sigma_a \left(\frac{l}{f_a} \right) l \cdot 10^{-7}$	$h_s \approx \rho \sigma_a \left(\frac{l}{f_a} \right) l \cdot 10^{-7}$				
	$h_{sp} \approx 1,235 \sqrt{\frac{W_{nec}}{t_i}}$	$h_{op} \approx 1,425 \sqrt{\frac{W_{nec}}{t_i}}$				
$W_{nec} = \frac{M_{max}}{\sigma_a}$; t_i — se apreciază cu relațiile date în funcție de h determinat din tabelul 6.10. Pentru grinzi cheson se ia $2t_i$.						
Dacă nu contravine altor condiții (tehnologice), inălțimea h se ia multiplu de :	50 mm pentru $h \leq 1000$ mm 190 mm pentru $h > 1000$ mm					
Grinzi puternic solicitate	Grinzi solicitate normal	Precizări				
$t_i \approx 2h + 8$ mm; h se introduce în m $t_i \geq \frac{T}{0,577 h \sigma_a}$	$t_i \approx 0,07 \sqrt{h}$; h se introduce în cm $t_i \geq \frac{T}{0,577 h \sigma_a}$	Condiții constructive	Optime			
Grosimi : — obișnuite : (6) ; 8 ; 10 ; 12 ; 15 mm — minime : conform prevederilor din cap. 2.			Lățimea b	Grosimea t_i	De stabilitate	Construcțive
			$t_i + 2$ mm $\leq t \leq (2 \dots 3)t_i$			
			$A_i = b t_i \approx \frac{W_{nec}}{h} = 0,320 M_i$			
			$b \approx \left(\frac{1}{3} \dots \frac{1}{5} \right) h$			
			$t_i + 2$ mm $\leq t \leq (2 \dots 3)t_i$			
			$A_i = b t_i \approx \frac{W_{nec}}{h} = 0,160 M_i$			
	$(2A_i \approx (0,40 \dots 0,60) A)$					
		Generală	Locală			
	$b \geq \frac{l_1}{12}$ l_1 — vezi pet. 6.1.5.1.		$a \leq 15t_i \sqrt{\frac{2400}{\sigma_a}}$			

b, t_i — să fie cuprinse în sortiment (v. cap. 1); $t_i \geq t_i + 2$ mm (10); $12 \text{ mm} \leq t_i \leq 30$; (36) mm.

Dispunerea Rigidizărilor:

Rigidizările se dispun pe înima pentru a preveni voalarea din eforturile de compresiune ($N; M$ zona comprimată), respectiv de taiere (V).

<i>Rigidizări</i>	<i>Transversale</i>		<i>Longitudinale</i>		<i>Longitudinale și scurte</i>
<i>Solicitarea pentru care se recomandă rigidizările</i>	<i>Lunecare</i> <i>Forfecare</i>	<i>Încovoiere</i>	<i>Compreziune</i>	<i>Încovoiere</i>	<i>Acțiuni locale mobile (forțe concentrate mobile)</i>
<i>Dimensiuni aproximative pentru :</i>	<i>Construcții metalice hidrotehnice</i>	$\sigma = \lambda \cdot (\text{distanța între antrefoaze})$ $\sigma \leq 3h_0$ $\sigma \leq 3,0 \text{ m}$	$h_t = 0,5 h_0$	<i>Se prevăd dacă:</i> $\frac{h_0}{t_i} > 150$	$\sigma_t = \left(\frac{1}{2} \dots \frac{1}{3} \right) \sigma$
<i>Produri metalice cu calea sus/jos</i>		$\sigma = 1,6 \dots 2,0 \text{ m}$ $\sigma \leq 3h_0$	$h_t = 0,5 h_0$	<i>La distanța</i> $h_t = \left(\frac{1}{4} \dots \frac{1}{5} \right) h_0$	
<i>Construcții civile, industriale și agricole</i>		$\sigma = \lambda \cdot (\text{distanța între antrefoaze})$ $\sigma \leq 3h_0 ; \sigma \leq 3,0 \text{ m}$			



VERIFICAREA ELEMENTELOR STRUCTURALE CU INIMA PLINA ZVELTA

Grinziile si stalpii cu inima plina, de clasa 1,2 si 3 se verifica conform prevederilor curente din EN 1993-1-1.

Grinziile si stalpii cu inima plina de clasa 4 se verifica luand in considerare posibilitatea ca inima sa voaleze.

→ se considera sectiune efectiva, determinata pe baza ????????? de latime efectiva (eficace), in conformitatea cu prevederile din EN 1993-1-5.

Voalarea se produce cand :

$$\sigma_{Ed} > \sigma_{cr}$$

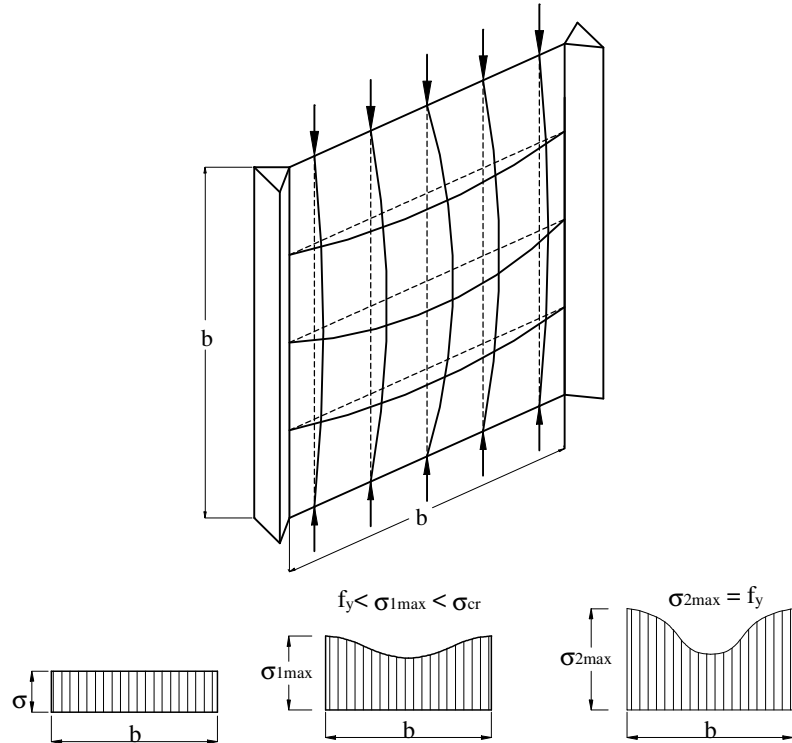
$$\tau_{Ed} > \tau_{cr} \quad \text{sau} \quad V_{Ed} > V_{cr}$$

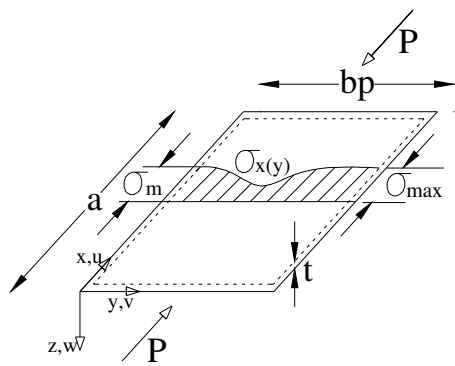
Voalarea poate fi evitata prin dispunerea unor rigidizari.

Observatie:

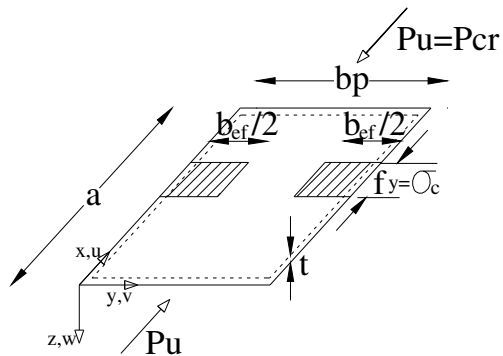
Daca si talpa (comprimata) este de clasa 4, se va considera si in acest caz de reducerea sectiunii.

CONCEPTUL DE LATIME EFECTIVA





$$P = \int_0^{bp} \sigma_x(y) dy = \sigma_m \cdot t \cdot b_p$$



$$P_u = f_y \cdot b_{ef} \cdot t$$

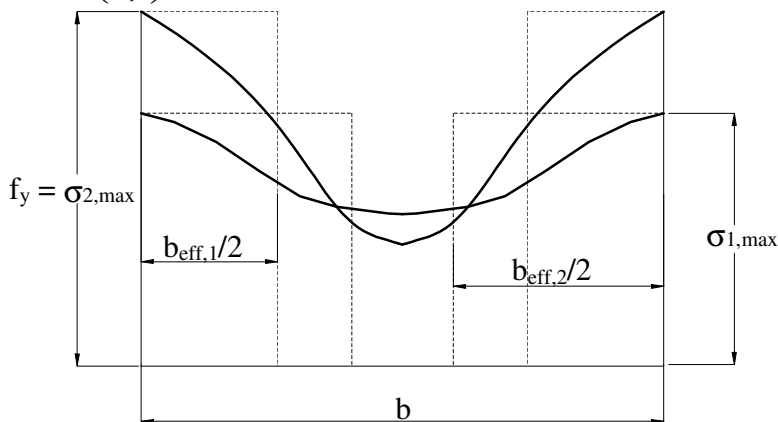
$$b_{ef} = f(\sigma_{cr}, f_y)$$

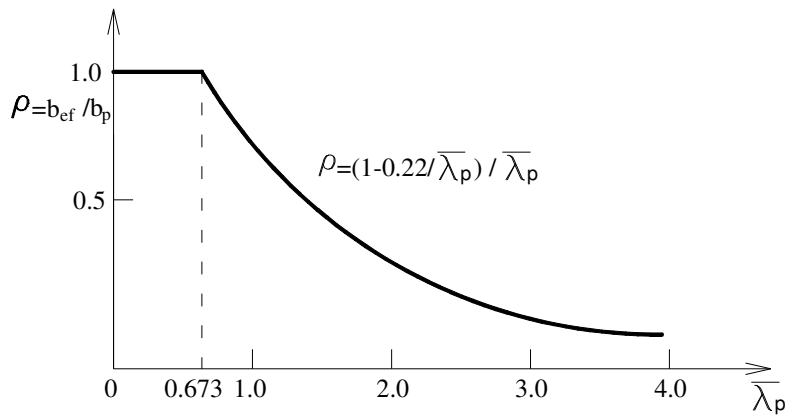
$$\frac{b_{ef}}{b_p} = \sqrt{\frac{\sigma_{cr}}{f_y}} \quad (\text{V.Karman})$$

$$\frac{b_{ef}}{b_p} = \sqrt{\frac{\sigma_{cr}}{f_y}} (1 - 0.22 \sqrt{\frac{\sigma_{cr}}{f_y}}) \quad (\text{Winter})$$

$$\bar{\lambda}_p = \sqrt{\frac{f_y}{\sigma_{cr}}} \text{ - zveltetea redusa de placa (perete)}$$

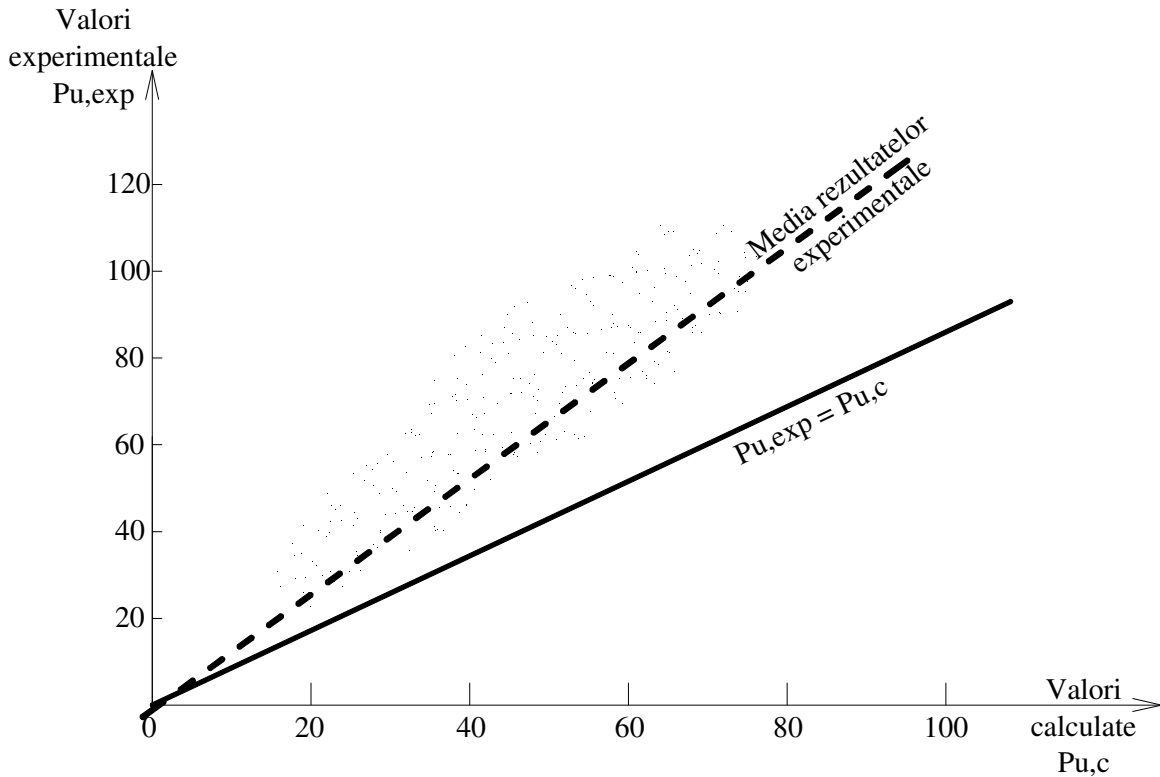
$$\sigma_{cr} = k_\sigma \frac{\pi^2 E}{12(1-\nu^2)} \left(\frac{t}{b_p} \right); \quad k_\sigma = \text{coeficientul de valoare}$$



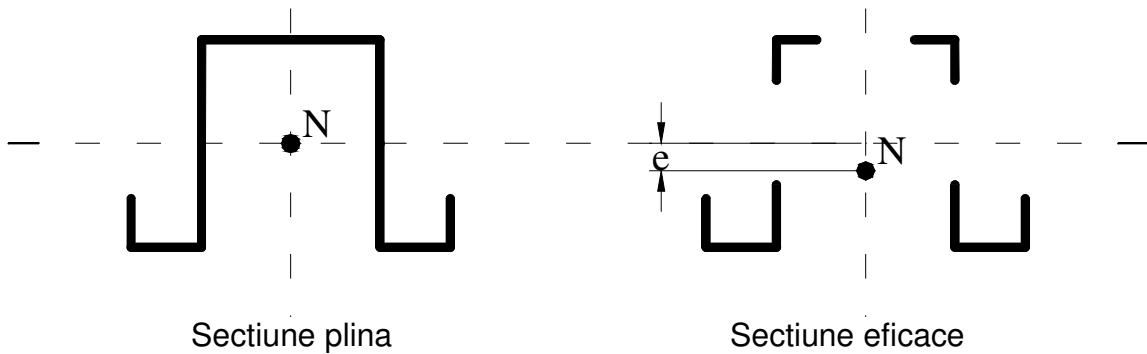


VALIDITATEA CONCEPTULUI DE “LATIME EFICACE”

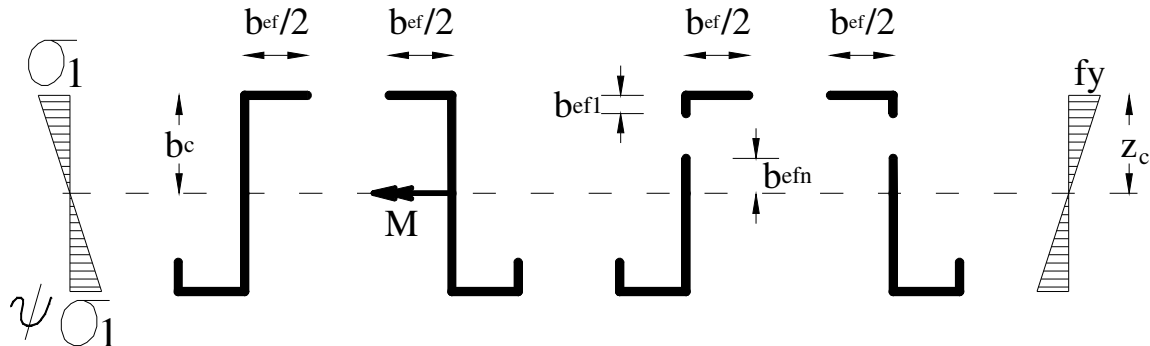
- testele experimentale confirma
- procedeul este foarte simplu
- prin intarirea sectiunii prin rigidizari intermediare si/sau de margine se obtine o crestere a acestei eficacitati.



SECTIUNEA EFICACE LA O BARA COMPRIMATA



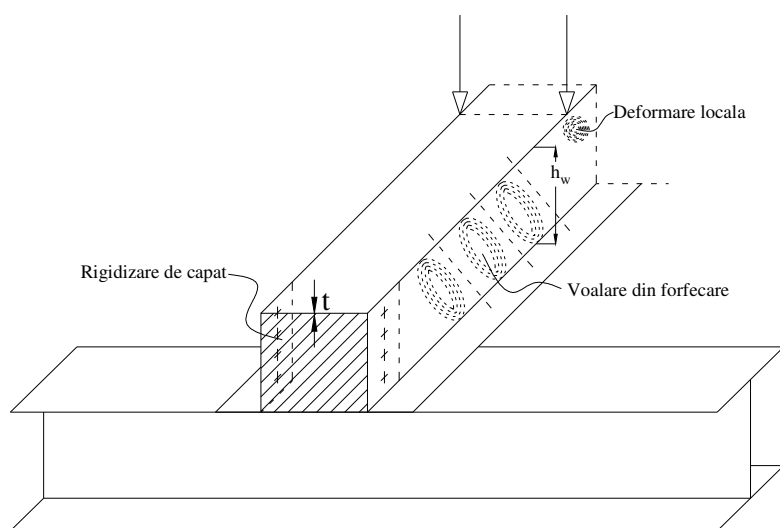
SECTIUNEA EFICACE LA O BARA INCOVORIATA



Pozitia preliminara a A.n.
Alte efecte locale
datorate "subtirimii de
perete"

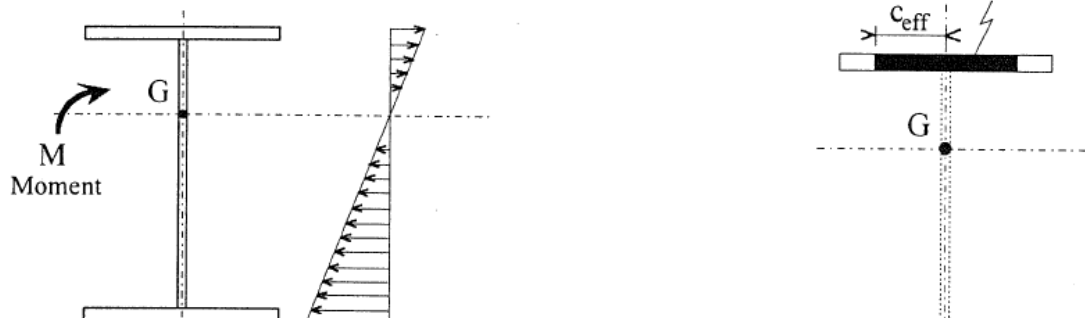
- voalare de forfecare
- Deformare sau strivire locale (web crippling)

Pozitia finala a A.n.

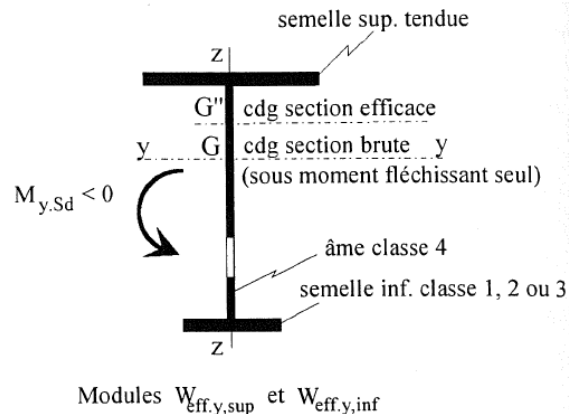
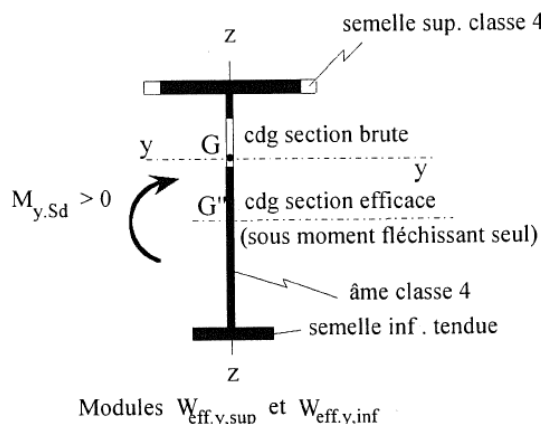
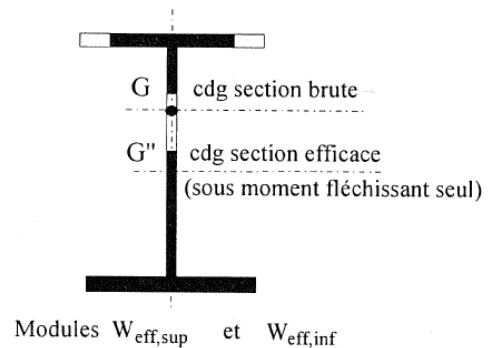
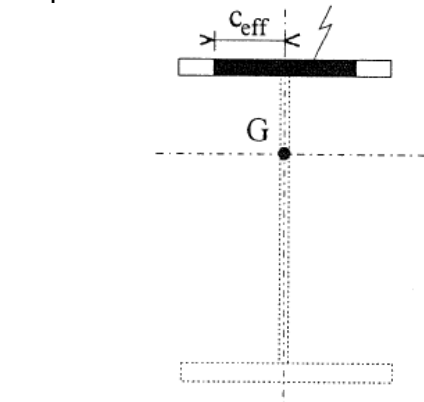
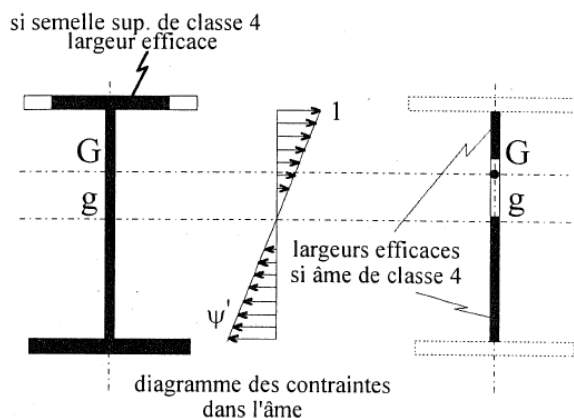


Cand inima si talpa sunt de clasa 4, la o sectiune solicitata la incovoiere calculul se conduce in doi pasi :

- 1- talpa comprimata
- 2- inima in zona comprimata

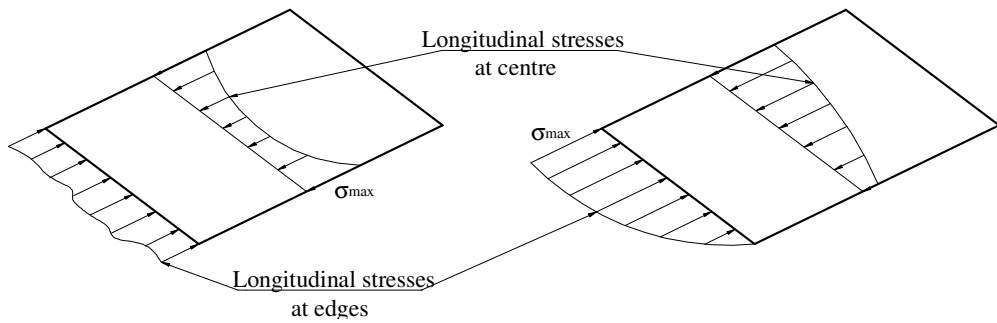


Section transversale brute

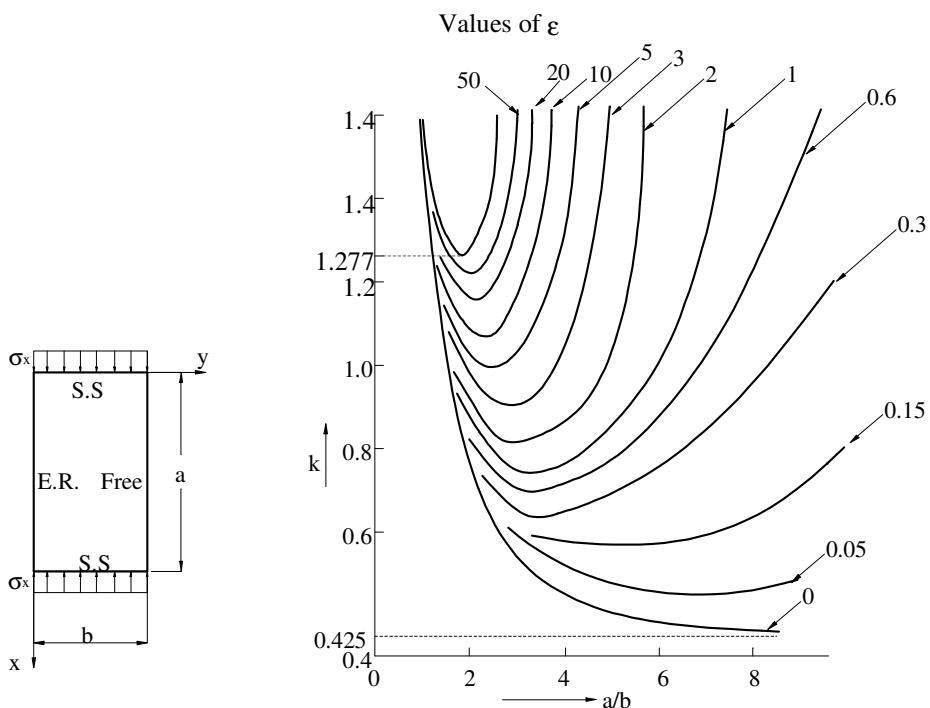
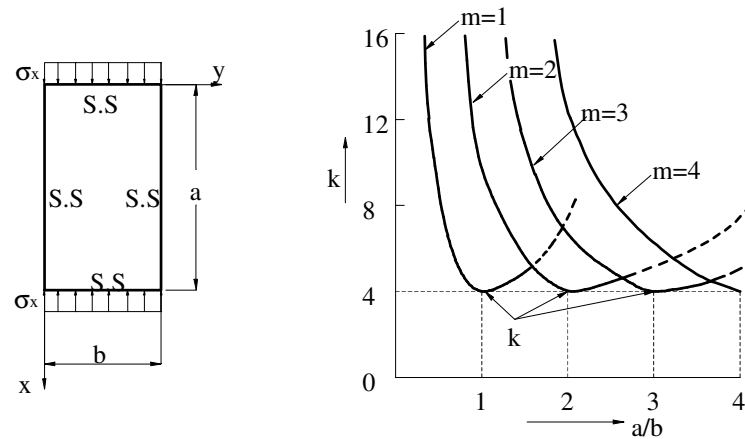


Determinarea latimii eficace (efective) depinde de:

- tipul de perete (placa) – inima
- talpa

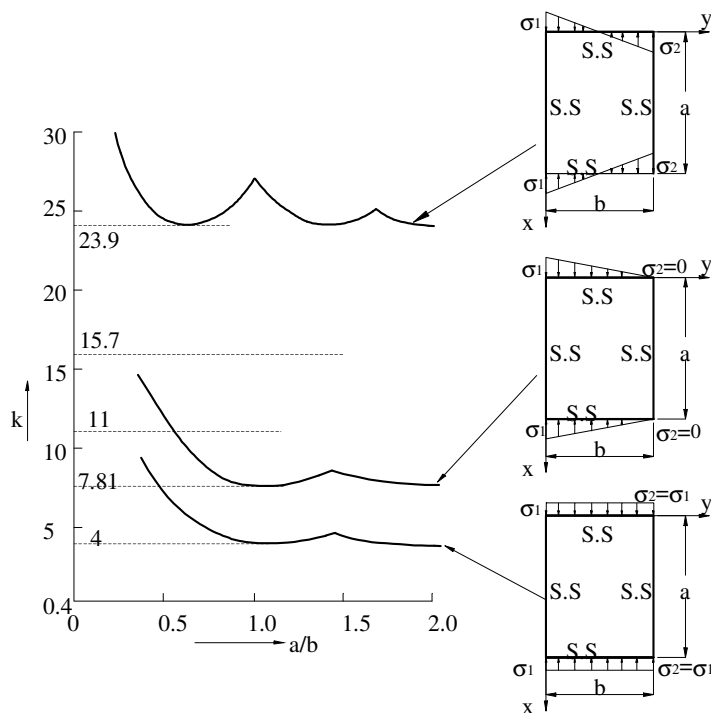


Influenta rezemarii



- variația tensiunilor pe latimea peretelui (placii)

Influenta Gradientului de tensiune



Tabelul 4.1 - Elemente comprimate interne

Distribuția tensiunilor (compresiune pozitivă)	Lățimea eficace ^p b_{eff}
σ_1 σ_2	$\underline{\psi = 1:}$ $b_{eff} = \rho \bar{b}$ $b_{e1} = 0,5 b_{eff}$ $b_{e2} = 0,5 b_{eff}$
σ_1 σ_2	$\underline{1 > \psi > 0:}$ $b_{eff} = \rho \bar{b}$ $b_{e1} = \frac{2}{5 - \psi} b_{eff}$ $b_{e2} = b_{eff} - b_{e1}$
σ_1 σ_2	$\underline{\psi < 0:}$ $b_{eff} = \rho b_c = \rho \bar{b} / (1 - \psi)$ $b_{e1} = 0,4 b_{eff}$ $b_{e2} = 0,6 b_{eff}$
$\psi = \sigma_2/\sigma_1$	1 $1 > \psi > 0$ 0 $0 > \psi > -1$ -1 $-1 > \psi > -3$
Factor de voalare k_σ	4,0 $8,2 / (1,05 + \psi)$ 7,81 $7,81 - 6,29\psi + 9,78\psi^2$ 23,9 $5,98 (1 - \psi)^2$

Tabelul 4.2 - Elemente comprimate în consolă

Distribuția tensiunilor (compresiune pozitivă)	Lățimea eficace ^p b_{eff}
--	--

	$1 > \psi \geq 0:$ $b_{\text{eff}} = \rho c$
	$\psi < 0:$ $b_{\text{eff}} = \rho b_c = \rho c / (1 - \psi)$
$\psi = \sigma_2 / \sigma_1$	1
Factor de voalare k_σ	0,43
	$0 < \psi \leq 1:$ $b_{\text{eff}} = \rho c$
	$\psi < 0:$ $b_{\text{eff}} = \rho b_c = \rho c / (1 - \psi)$
$\psi = \sigma_2 / \sigma_1$	1
Factor de voalare k_σ	0,43
	$1 > \psi > 0$
	$0,578 / (\psi + 0,34)$
	0
	$0 > \psi > -1$
	$1,7 - 5\psi + 17,1\psi^2$
	-1
	23,8